

Эволюция спектральных параметров квазичастиц в открытой симметричной трехбарьерной резонансно-туннельной наноструктуре

© Н.В. Ткач, Ю.А. Сети

Черновицкий национальный университет им. Юрия Федьковича,
Черновцы, Украина

E-mail: ktf@chnu.edu.ua

(Поступила в Редакцию 4 марта 2010 г.
В окончательной редакции 20 мая 2010 г.)

В модели пространственно зависимых эффективных масс и прямоугольных потенциалов квазичастиц (электронов, дырок, экситонов) в симметричной трехбарьерной резонансно-туннельной наноструктуре, методами коэффициента поглощения, S -матрицы и функции распределения вероятности выполнен теоретический расчет спектральных параметров (резонансных энергий и ширин) квазистационарных состояний.

На примере открытой трехбарьерной резонансно-туннельной структуры, состоящей из трех барьеров (GaAs) и двух ям ($\text{In}_{0.25}\text{Ga}_{0.75}\text{As}$), рассчитана и проанализирована эволюция спектральных параметров квазистационарных состояний квазичастиц в зависимости от изменения геометрических размеров наносистемы. В модели без подгоночных параметров в случае тяжелого экситона установлено удовлетворительное соответствие экспериментальных и теоретических результатов.

1. Введение

Базовыми элементами различных наносенсоров, квантовых каскадных лазеров и других устройств, созданных и интенсивно исследуемых как экспериментально [1–5], так и теоретически [6–16], являются открытые резонансно-туннельные наноструктуры. В отличие от закрытых систем, в которых из-за мощных внешних потенциальных барьеров, квазичастицы локализованы только внутри системы и поэтому без учета их взаимодействия с диссипативными подсистемами (фононами, примесями и т.п.) характеризуются стационарным спектром, в открытых системах с „прозрачными“ (малые величины высот и толщин) внешними потенциальными барьерами квазичастицы могут уходить из наносистемы на бесконечно далекие расстояния. Из-за этого их спектр становится квазистационарным, т.е. характеризуется не только резонансными энергиями (РЭ), но и резонансными ширинами (РШ).

Как известно [7–14], физические свойства открытых наноструктур (в частности, проводимость) определяются свойствами спектральных параметров (резонансных энергий и ширин) квазистационарных состояний электронов, дырок, экситонов, взаимодействующих между собой и с различными полями квазичастиц, которые в свою очередь зависят от материальных параметров и геометрических размеров наносистемы.

В теоретических работах, чтобы уменьшить громоздкие расчеты, часто [6–12] использовалась δ -аппроксимация прямоугольных потенциальных барьеров, что хотя и давало качественно верные выводы, но, как выяснилось [14,17], из-за автоматического игнорирования в такой модели разницы эффективных масс в разных частях наносистемы приводило к завышенным (в десятки раз) значениям резонансных ширин квазистационарных состояний. Следовательно, такая модель не могла

предполагать приемлемого количественного согласия с экспериментом.

Цель настоящей работы состоит в том, чтобы в более реалистической модели прямоугольных потенциальных ям и барьеров, а также разных эффективных масс квазичастиц в разных частях открытой трехбарьерной наносистемы выполнить аналитический расчет спектральных параметров (резонансных энергий и ширин) квазистационарных состояний электронов, дырок и экситонов тремя методами: коэффициента прозрачности D , S -матрицы и функции распределения вероятности нахождения квазичастицы в системе W . Числовой расчет и анализ эволюции спектральных параметров квазичастиц в зависимости от физических величин и геометрических размеров наносистемы выполнены на примере открытой симметричной трехбарьерной резонансно-туннельной структуры на основе трех барьеров (GaAs) и двух ям ($\text{In}_{0.25}\text{Ga}_{0.35}\text{As}$).

Выбор исследуемой наносистемы обусловлен тем, что нам, к сожалению, неизвестны экспериментальные работы, в которых бы изучались спектральные параметры квазичастицы в зависимости от геометрических размеров какой-либо открытой трехбарьерной наносистемы. Тем не менее известно, что в работе [18] выполнено детальное экспериментальное исследование эволюции экситонного спектра в зависимости от геометрических размеров потенциальных ям и внутреннего барьера двухямной закрытой системы. Там же выполнен и теоретический расчет низкоэнергетической части спектра тяжелого экситона в модели постоянных по системе эффективных масс электрона и тяжелой дырки с использованием прямоугольных потенциальных энергий квазичастиц как подгоночных параметров.

В предложенной здесь теории квазичастиц в открытой трехбарьерной наносистеме показано, что уже при толщинах внешних барьеров порядка 5 nm энергетиче-

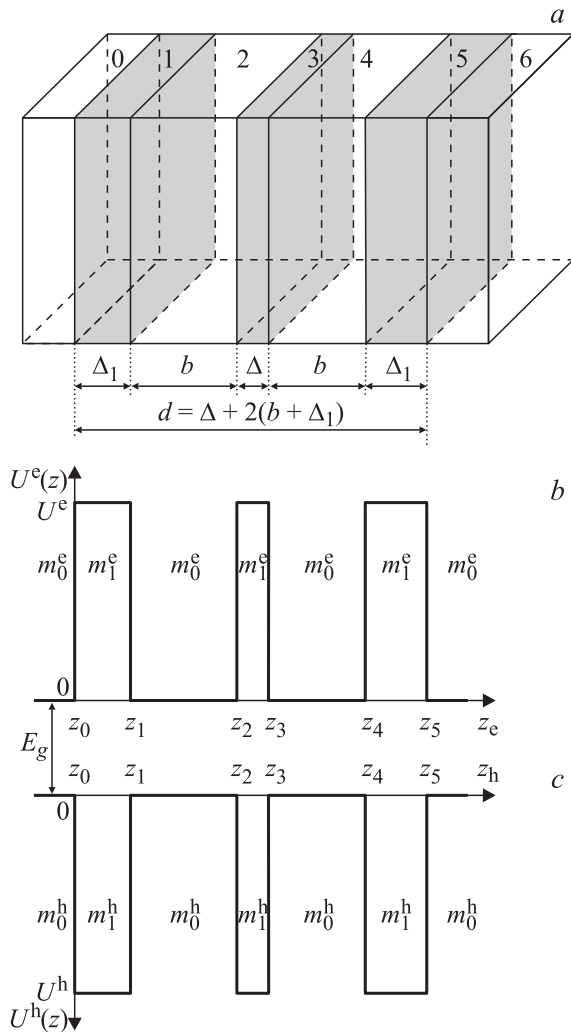


Рис. 1. Геометрическая схема открытой симметричной наносистемы (а) и энергетическая схема потенциальной энергии электрона (б) и дырки (с).

ский спектр тяжелого экситона практически совпадает (с точностью не хуже 2%) с экспериментальными результатами, полученными в работе [18] для закрытой наносистемы.

Итак, в декартовой системе координат рассматривается открытая симметричная трехбарьерная наносистема с геометрическими параметрами, приведенными на рис. 1. Учитывая, что постоянные решеток слоев и барьеров системы разнятся несущественно, для построения теории резонансных энергий и ширин квазистационарных состояний электрона (e), тяжелой (hh) и легкой (lh) дырок будем использовать модель эффективных масс и прямоугольных потенциалов.

Поскольку аналитическая часть теории для всех трех квазичастиц одинакова, чтобы не загромождать индексами формулы, в этой части мы опустим индексы (e, hh, lh) возле эффективных масс и потенциалов, а следовательно, и возле волновых функций и восстановим их там, где будут анализироваться результаты расчетов.

Аналитический расчет спектральных параметров (РЭ, РШ) квазистационарных состояний будем выполнять одновременно тремя методами: S-матрицы рассеяния, функции распределения вероятности и коэффициента прозрачности. Так как указанные методы базируются на решении стационарного уравнения Шредингера и различаются только на конечном этапе выбором коэффициентов при экспонентах, описывающих входящие и выходящие из наносистемы волны, это позволяет решать задачу компактно в общем виде, учитывая различие в коэффициентах лишь на последнем этапе.

2. Коэффициент прозрачности, S-матрица и функция распределения вероятности нахождения квазичастицы в трехбарьерной наносистеме

Будем полагать, что в декартовой системе координат с осью OZ, перпендикулярной плоскостям всех слоев наносистемы, эффективная масса и потенциальная энергия квазичастицы имеют вид

$$m(z) = \begin{cases} m_0, & U(z) = \begin{cases} 0, & \text{regions } 0, 2, 4, 6, \\ U, & \text{regions } 1, 3, 5. \end{cases} \end{cases} \quad (1)$$

Решение стационарного уравнения Шредингера для квазичастицы в такой наносистеме

$$\left[-\frac{\hbar^2}{2} \left(\frac{\partial}{\partial z} \frac{1}{m(z)} \frac{\partial}{\partial z} + \frac{1}{m(z)} \left(\frac{\partial^2}{\partial x^2} + \frac{\partial^2}{\partial y^2} \right) \right) + U(z) \right] \Psi(x, y, z) = E\Psi(x, y, z) \quad (2)$$

ищется в виде

$$\Psi(x, y, z) = \Psi(z)\Psi_{k_{\parallel}}(x, y) = \frac{1}{L} \Psi(z)e^{ik_{\parallel}(x\mathbf{n}_x + y\mathbf{n}_y)}, \quad (3)$$

здесь \mathbf{k}_{\parallel} — квазиимпульс, L — длина основной области в плоскости XOY.

Для функции $\Psi(z)$ с учетом (2) и (3) получается уравнение

$$\left(-\frac{\hbar^2}{2} \frac{d}{dz} \frac{1}{m(z)} \frac{d}{dz} + U(z) + \frac{\hbar^2 k_{\parallel}^2}{2m(z)} \right) \Psi(z) = E\Psi(z). \quad (4)$$

Далее считая для определенности, что поток квазичастиц попадает на систему слева перпендикулярно ее слоям ($k_{\parallel} = 0$), искомую волновую функцию запишем в

следующем компактном виде:

$$\begin{aligned} \Psi(z) &= \Psi_0(z)\theta(-z) + \Psi_6(z)\theta(z - z_5) \\ &+ \sum_{p=1}^5 \Psi_p(z)[\theta(z - z_{p-1}) - \theta(z - z_p)] \\ &= (A_0 e^{ik_0 z} + B_0 e^{-ik_0 z})\theta(-z) + (A_6 e^{ik_6 z} + B_6 e^{-ik_6 z})\theta(z - z_5) \\ &+ \sum_{p=1}^5 (A_p e^{ik_p(z-z_{p-1})} + B_p e^{-ik_p(z-z_{p-1})}) \\ &\times [\theta(z - z_{p-1}) - \theta(z - z_p)], \end{aligned} \quad (5)$$

где

$$\begin{aligned} z_0 &= 0, \quad z_1 = \Delta_1, \quad z_2 = b + \Delta_1, \quad z_3 = b + \Delta_1 + \Delta, \\ z_4 &= 2b + \Delta_1 + \Delta, \quad z_5 = 2(b + \Delta_1) + \Delta, \quad (6) \\ k_0 &= k_2 = k_4 = k_6 = k_{\perp} = \hbar^{-1} \sqrt{2m_0 E}, \\ k_1 &= k_3 = k_5 = -\hbar^{-1} \sqrt{2m_0(E - U)}. \quad (7) \end{aligned}$$

Условия непрерывности волновых функций и потоков плотности вероятности на границах слоев структуры

$$\Psi_i(z_i) = \Psi_{i+1}(z_i),$$

$$\frac{1}{m_{0(1)}} \left. \frac{d\Psi_i(z)}{dz} \right|_{z=z_i} = \frac{1}{m_{1(0)}} \left. \frac{d\Psi_{i\pm 1}(z)}{dz} \right|_{z=z_i} \quad (i = 0, \dots, 5) \quad (8)$$

вместе с условием нормировки (при фиксированном значении $k = 0$)

$$\int_{-\infty}^{\infty} \Psi_{k'_{\perp}}^*(z) \Psi_{k_{\perp}}(z) dz = \delta(k_{\perp} - k'_{\perp}) \quad (9)$$

однозначно определяют неизвестные коэффициенты A_i , B_i ($i = 0, \dots, 6$) через трансфер-матрицу системы [19].

Для рассматриваемой трехбарьерной резонансно-туннельной наноструктуры трансфер-матрица T определяется произведением

$$T = \prod_{p=0}^5 \begin{pmatrix} t_{11}^{p,p+1} & t_{12}^{p,p+1} \\ t_{21}^{p,p+1} & t_{22}^{p,p+1} \end{pmatrix} = \begin{pmatrix} t_{11} & t_{12} \\ t_{21} & t_{22} \end{pmatrix}. \quad (10)$$

$$\begin{aligned} t_{fg}^{p,p+1} &= \frac{1}{2} \left[1 + (-1)^{f+g} \frac{m_p k_{p+1}}{m_{p+1} k_p} \right] \\ &\times \exp \left(iz_p [(-1)^f k_p + (-1)^{g+1} k_{p+1}] \right) \\ &(f, g = 1, 2; p = 0, \dots, 5). \end{aligned} \quad (11)$$

Согласно квантово-механическому определению [20], с учетом того, что в D -подходе отсутствуют входящая справа в наносистему волна ($B_6^D = 0$), для коэффициента прозрачности получаем выражение

$$D(k_{\perp}) = |A_6^D(k_{\perp})|^2 |A_0^D(k_{\perp})|^{-2} = |t_{11}(k_{\perp})|^{-2}, \quad (12)$$

содержащие лишь один элемент трансфер-матрицы.

Согласно методу S -матрицы, полагая в (5) $B_0^S/A_0^S = A_6^S/B_6^S = S$ и используя граничные условия (8), получаем квадратное уравнение, которое имеет два решения

$$S_{\pm}(k_{\perp}) = e^{-ik_{\perp} z_5} \frac{1 + iZ_{\pm}(k_{\perp})}{1 - iZ_{\pm}(k_{\perp})}. \quad (13)$$

где

$$\begin{aligned} Z_{\pm}(k_{\perp}) &= \frac{\operatorname{Re}(t_{12})(\operatorname{Im}(t_{21}) + \operatorname{Im}(t_{11} e^{-ik_{\perp} z_5}))}{|t_{12}|^2 + \operatorname{Im}(t_{21})\operatorname{Im}(t_{11} e^{-ik_{\perp} z_5}) \pm \operatorname{Re}(t_{12})\sqrt{|t_{12}|^2 - (\operatorname{Im}(t_{11} e^{-ik_{\perp} z_5}))^2}} \end{aligned} \quad (14)$$

— действительные функции аргумента (k_{\perp}), определяемые всеми элементами трансфер-матрицы (10) при $B_0^{S\pm}/A_0^{S\pm} = A_6^{S\pm}/B_6^{S\pm} = S_{\pm}$.

Теперь необходимые в дальнейшем волновые функции квазичастицы во внешней области слева ($\Psi_0(z \leq 0)$) и справа ($\Psi_6(z \geq z_5)$) от наносистемы могут быть представлены в виде линейных комбинаций

$$\begin{aligned} \Psi_0(z \leq 0) &= A(e^{ik_{\perp} z} + S e^{-ik_{\perp} z}), \\ \Psi_6(z \geq z_5) &= B(S e^{ik_{\perp} z} + e^{-ik_{\perp} z}) \end{aligned} \quad (15)$$

с соответствующими коэффициентами и S -матрицей рассеивания

$$A = A_0^+ + A_0^-, \quad B = B_6^+ + B_6^-;$$

$$S = A^{-1}(A_0^- S_- + A_0^+ S_+) = B^{-1}(B_6^- S_- + B_6^+ S_+). \quad (16)$$

Так как $E_{\perp} = \frac{\hbar^2 k_{\perp}^2}{2m_0} = E - \frac{\hbar^2 k_{\parallel}^2}{2m_0}$, при фиксированном значении $k_{\parallel} = 0$, выполнив аналитическое продолжение S -матрицы в комплексную плоскость квазимпульсов $k_{\perp} = k'_{\perp} - ik''_{\perp}$ (или энергий $E_{\perp} = E'_{\perp} - iE''_{\perp}$), получим уравнения

$$\operatorname{Re}(S(E_{\perp}))^{-1} = 0, \quad \operatorname{Im}(S(E_{\perp}))^{-1} = 0 \quad (17)$$

для определения РЭ и РШ квазистационарных состояний квазичастицы в наносистеме.

Волновая функция (5) позволяет выполнить расчет функции $W(k_{\perp})$ вероятности нахождения квазичастицы внутри системы методом Людерса [21]. В результате получается точное выражение ($z_5 = d$)

$$\begin{aligned} W(k_{\perp}) &= \frac{1}{d} \int_0^d |\Psi_{k_{\perp}}(z)|^2 dz = \frac{1}{d} \lim_{k_{\perp} \rightarrow k'_{\perp}} \frac{1}{k_{\perp}^2 - k'^2_{\perp}} \\ &\times \left[\Psi_{k_{\perp}}^*(z) \frac{d\Psi_{k'_{\perp}}(z)}{dz} - \Psi_{k'_{\perp}}(z) \frac{d\Psi_{k_{\perp}}^*(z)}{dz} \right]_{z_0}^d \\ &= \frac{1}{\pi d} \left[\frac{dZ_+(k_{\perp})}{dk_{\perp}} - \frac{Z_+(k_{\perp})}{k_{\perp}} + \frac{dZ_-(k_{\perp})}{dk_{\perp}} - \frac{Z_-(k_{\perp})}{k_{\perp}} \right]. \end{aligned} \quad (18)$$

Дальнейший расчет и анализ спектральных параметров квазистационарных состояний электрона, легкой и тяжелой дырок будет выполняться D -, S - и W -методами на примере экспериментально исследованной в [18] закрытой наносистемы с тремя GaAs-барьерами и двумя $\text{In}_{0.25}\text{Ga}_{0.75}\text{As}$ -ямами в случае, когда $k_{\parallel} = 0$ и, следовательно, $k_{\perp} = k$, $E_{\perp} = E$.

3. Эволюция спектральных параметров квазистационарных состояний квазичастиц в открытой трехбарьерной резонансно-туннельной структуре

Расчет и анализ спектральных параметров (РЭ и РШ) квазистационарных состояний электрона (e), с тяжелой (hh) и легкой (lh) дырок в открытой симметричной трехбарьерной резонансно-туннельной структуре выполнялся на примере исследуемой экспериментально [18] двухъямной ($\text{In}_{0.25}\text{Ga}_{0.75}\text{As}$) закрытой наносистемы с одним внутренним и двумя массивными внешними потенциальными барьерами (GaAs). Физические параметры таковы: $U^e = U^{hh} = U^{lh} = 400$ meV, $E_g = 1240$ meV — ширина запрещенной зоны полупроводника $\text{In}_{0.25}\text{Ga}_{0.75}\text{As}$, $m_0^e = 0.055m_e$, $m_1^e = 0.067m_e$, $m_0^{hh} = 0.478m_e$, $m_1^{hh} = 0.5m_e$, $m_0^{lh} = 0.068m_e$, $m_1^{lh} = 0.082m_e$ (m_e — масса электрона в вакууме). Как уже отмечалось, предполагается, что энергия квазичастиц в плоскости, параллельной слоям системы, пренебрежимо мала ($k_{\parallel} = 0$).

Эволюция спектральных параметров квазистационарных состояний в зависимости от геометрических размеров ям ($\text{In}_{0.25}\text{Ga}_{0.75}\text{As}$) и барьеров (GaAs) наносистемы изучалась тремя методами. Свойства электронных и дырочных состояний оказались качественно одинаковыми, поэтому функции $W(E)$, $D(E)$, а также соответствующие спектральные параметры (РЭ и РШ) проиллюстрированы на примере электрона (рис. 2).

На рис. 2, a, b показана эволюция первой пары пиков функций $W(E)$, $D(E)$ в зависимости от изменения толщины внутреннего барьера Δ при фиксированных размерах ям ($b = 9$ nm) и внешних барьеров ($\Delta_1 = 2$ nm). Согласно принятой терминологии [7–12], пикам на кривых $W(E)$ и $D(E)$ соответствуют резонансные квазистационарные состояния, или просто резонансы. Так как система содержит две потенциальные ямы, с увеличением Δ резонансы эволюционируют (сближаются) попарно, начиная с двух нижних, до таких критических значений толщины внутреннего барьера (Δ_{cn}^W , Δ_{cn}^D), при которых каждая пара пиков образует один (т.е. происходит коллапс). Поэтому, чтобы адекватно описать эволюцию всех состояний с увеличением толщины внутреннего барьера Δ в достаточно широком интервале, необходимо ввести понятие n -го парного комплекса состояний, который в интервале $0 \leq \Delta \leq \Delta_{cn}$ содержит два резонансных пика в шкале энергий (nl — нижний

(lower), nu — верхний (upper)), а в интервале $\Delta > \Delta_{cn}$ (после коллапса) — лишь один n -й пик. Поскольку каждой n -й паре состояний в интервале $0 \leq \Delta \leq \Delta_{cn}$ соответствует пара пиков, они характеризуются двумя резонансными энергиями (E_{nl} , E_{nu}) и ширинами (Γ_{nl} , Γ_{nu}), а в интервале $\Delta > \Delta_{cn}$ — одной резонансной энергией (E_n) и одной шириной (Γ_n). Резонансные энергии любого квазистационарного состояния определяются положениями максимумов функций $D(E)$ или $W(E)$ в шкале энергий, а резонансные ширины — ширинами соответствующих пиков функций $D(E)$ или $W(E)$ на половине их высоты.

На рис. 2, c, d приведены зависимости РЭ и РШ первых двух пар состояний от толщины внутреннего барьера Δ при $b = 9$ nm, $\Delta_1 = 2$ nm, рассчитанные D -, W - и S -методами. Из рисунков видно, что с увеличением Δ РЭ и РШ в каждой паре состояний сближаются между собой, при этом видно, что методы D и W показывают существование коллапса, т.е. полного совпадения РЭ $E_{nl}^{D,W} = E_{nu}^{D,W} = E_n^{D,W}$ и РШ $\Gamma_{nl}^{D,W} = \Gamma_{nu}^{D,W} = \Gamma_n^{D,W}$ при Δ_{cn}^D и Δ_{cn}^W соответственно, причем $\Delta_{cn}^D \leq \Delta_{cn}^W$. При этом, хотя спектральные параметры, рассчитанные методом S -матрицы, не коллапсируют ни при каких значениях толщины Δ , в интервале толщин, превышающих Δ_{cn}^W , с увеличением Δ они быстро (асимптотически) сближаются со значениями РЭ и РШ, рассчитанными W -методом.

На рис. 3 приведены зависимости РЭ и РШ первых двух пар квазистационарных состояний электрона e и тяжелой дырки hh от толщины Δ_1 внешних барьеров системы, рассчитанные при типичных экспериментальных [18] значениях размеров внутреннего барьера $\Delta = 5$ nm и ям $b = 9$ nm. Так как эффективные массы легкой дырки (в разных частях наносистемы) очень близки к эффективным массам электрона в соответствующих частях системы, эволюция спектральных параметров обеих квазичастиц практически одинакова. Чтобы не загромождать рисунок, на нем приведены результаты расчета только D -методом, так как S - и W -методы дают очень близкие результаты (что видно из рис. 2, c, d). На рис. 3 также приведены необходимые для дальнейшего анализа зависимости от Δ_1 максимальных значений коэффициента прозрачности D_n и параметра асимметрии

$$\eta_n = \left| \frac{W_n^{(1)} - W_n^{(2)}}{W_n^{(1)} + W_n^{(2)}} \right|,$$

$$W_n^{(1,2)} = \frac{1}{b} \int_{(z_1, z_3)}^{(z_2, z_4)} |\Psi_n^{(1,2)}(z)|^2 dz,$$

который характеризует относительную разницу вероятностей нахождения квазичастицы в левой (1) и правой (2) потенциальных ямах системы.

При малых размерах внешних барьеров ($\Delta_1 \leq \Delta/2$) значения РЭ E_n тех состояний, которые находятся близко ко дну потенциальных ям (в нашем случае это $n = 1$ электрона и легкой дырки, а также $n = 1, 2$ тяжелой

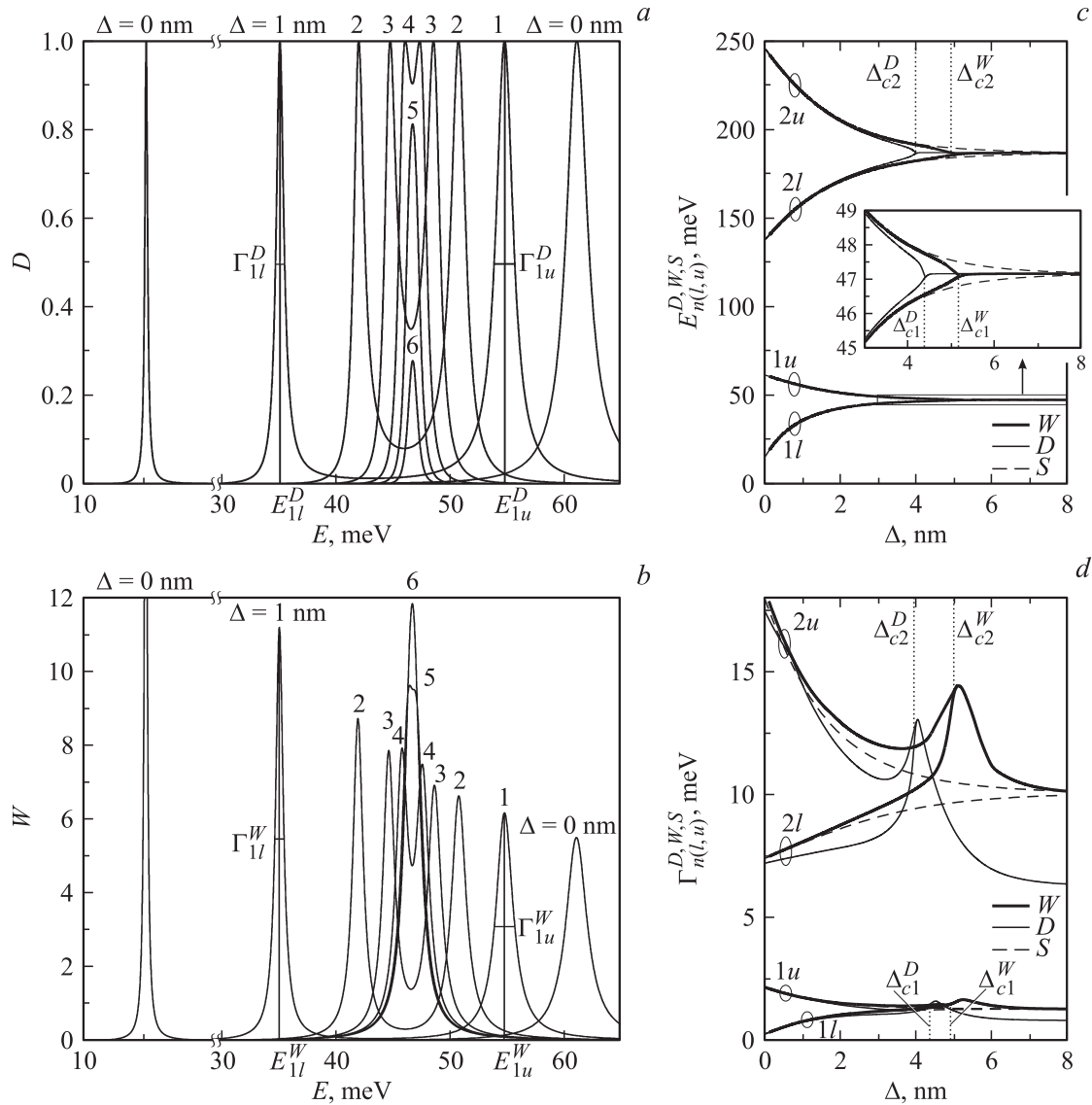


Рис. 2. Зависимость коэффициента прозрачности D (а), функции распределения W (б), резонансных энергий $E_{n(l,u)}^{D,W,S}$ (с) и ширин $\Gamma_{n(l,u)}^{D,W,S}$ (д) от толщины внутреннего барьера Δ наносистемы при $b = 9$ nm, $\Delta_1 = 2$ nm. На вставке приведена зависимость $E_{n(l,u)}^{D,W,S}(\Delta)$ в увеличенном виде.

дырки), с увеличением Δ_1 увеличиваются, а тех ($n = 2$ электрона и легкой дырки), которые достаточно далеки от дна ям, — уменьшаются. В точках коллапса $\Delta_{cn}^{D,W}$ резонансные энергии $E_n^{D,W}$ всех состояний расщепляются на пары $(E_{nl}^{D,W}, E_{nu}^{D,W})$, которые с дальнейшим увеличением толщины Δ_1 быстро выходят на насыщение и асимптотически стремятся к значениям, соответствующим закрытой (с массивными внешними барьерами) системы.

Резонансные ширины $\Gamma_n^{D,W}$ всех квазичастиц во всех состояниях с увеличением Δ_1 только уменьшаются, в точках коллапса $\Delta_{cn}^{D,W}$ они расщепляются на пары $(\Gamma_{nl}^{D,W}, \Gamma_{nu}^{D,W})$ и при дальнейшем увеличении Δ_1 с близкими между собой величинами экспоненциально стремятся к нулю, как и должно быть в закрытой системе.

Из рис. 2, 3 хорошо видно, что физической причиной коллапса спектральных параметров (с увеличением Δ при фиксированной величине Δ_1) или их расщепления (с увеличением Δ_1 при фиксированной величине Δ) является, как уже отмечалось в работах [6,17], своеобразный аналог фазового перехода второго рода по параметру асимметрии η . Действительно, трехбарьерную систему можно рассматривать как две одинаковые двухбарьерные, плотно соединенные между собой одинаковыми внутренними барьерами толщиной $\Delta/2$, с внешними барьерами толщиной Δ_1 . Если квазичастица движется слева на систему, попадает в яму (1), то при $\Delta_1 \ll \Delta/2$ ей легче отразиться от толстого ($\Delta/2$) правого барьера первой двухбарьерной системы и затем выйти наружу, пройдя сквозь ее тонкий левый внешний

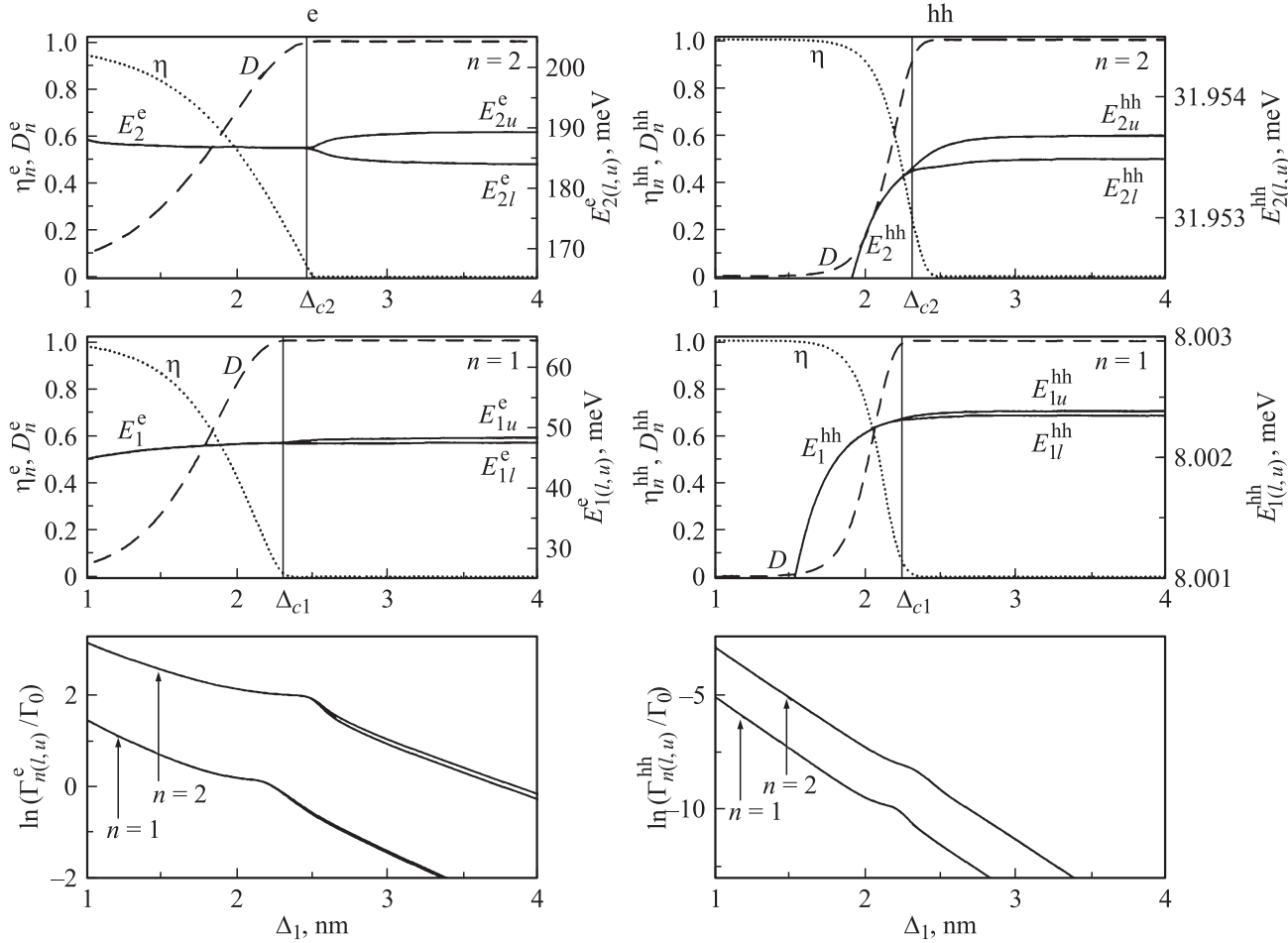


Рис. 3. Зависимости низкоэнергетических резонансных энергий и ширин электрона e и тяжелой дырки hh , максимальных значений коэффициента прозрачности D_n и коэффициента асимметрии η_n , от толщины внешнего барьера Δ_1 наносистемы при $b = 9$ нм, $\Delta = 5$ нм, $\Gamma_0 = 1$ мэВ.

барьер, чем туннельно пройти сквозь еще один толстый ($\Delta/2$) левый барьер второй двухбарьерной системы и лишь затем пройти сквозь ее тонкий (Δ_1) внешний правый барьер, выйдя справа из системы. Лишь поэтому коэффициент прозрачности всей системы оказывается малым ($D_n \ll 1$), а так как $W_n^{(1)} \gg W_n^{(2)}$, то $\eta_n \approx 1$.

С увеличением Δ_1 до величины порядка $\Delta/2$ вероятность $W_n^{(1)}$ уменьшается, а $W_n^{(2)}$ — увеличивается, поэтому коэффициент D_n увеличивается, а η_n уменьшается. Если величина $\Delta_1 \approx \Delta/2$, то система уже туннельно-прозрачная, вероятности $W_n^{(1)}$ и $W_n^{(2)}$ выравниваются между собой, поэтому $\eta_n \rightarrow 0$, а $D_n \rightarrow 1$. С дальнейшим увеличением Δ_1 открытая система превращается в закрытую (с массивными внешними барьерами).

Развитая теория спектральных параметров квазистационарных состояний электронов и дырок в открытой наносистеме позволяет изучать квазистационарные состояния экситонов без учета взаимодействия электронов и дырок между собой и с другими квазичастицами (в частности, с фононами). Поскольку коллапс спектральных параметров электронов и дырок происходит

практически при одной и той же толщине внутреннего барьера Δ_c , в указанном приближении спектральные параметры экситона можно представить в виде

$$E_{n_h}^{n_e}(\Delta \leq \Delta_c) = E_g + E_{n_e} + E_{n_h},$$

$$E_{n_h(l,u)}^{n_e(l,u)}(\Delta > \Delta_c) = E_g + E_{n_e(l,u)} + E_{n_h(l,u)},$$

$$\Gamma_{n_h}^{n_e}(\Delta \leq \Delta_c) = \Gamma_{n_e} + \Gamma_{n_h},$$

$$\Gamma_{n_h(l,u)}^{n_e(l,u)}(\Delta > \Delta_c) = \Gamma_{n_e(l,u)} + \Gamma_{n_h(l,u)}.$$

На рис. 4, *a* показана эволюция полос энергий тяжелого (h) и легкого (l) экситонов при фиксированных размерах ям ($b = 5$ нм) и внутреннего барьера ($\Delta = 5$ нм) системы. Из рис. 4, *a* видно, что качественно картина эволюции энергетических полос тяжелого и легкого экситонов одинаковая: при увеличении Δ_1 до Δ_c полосы сужаются, в окрестности точки коллапса (Δ_c) они расщепляются на пару полос, которые с дальнейшим увеличением Δ_1 продолжают сужаться, постепенно вырождаясь в энергетические уровни соответствующей закрытой наноструктуры. Из-за того что эффективные

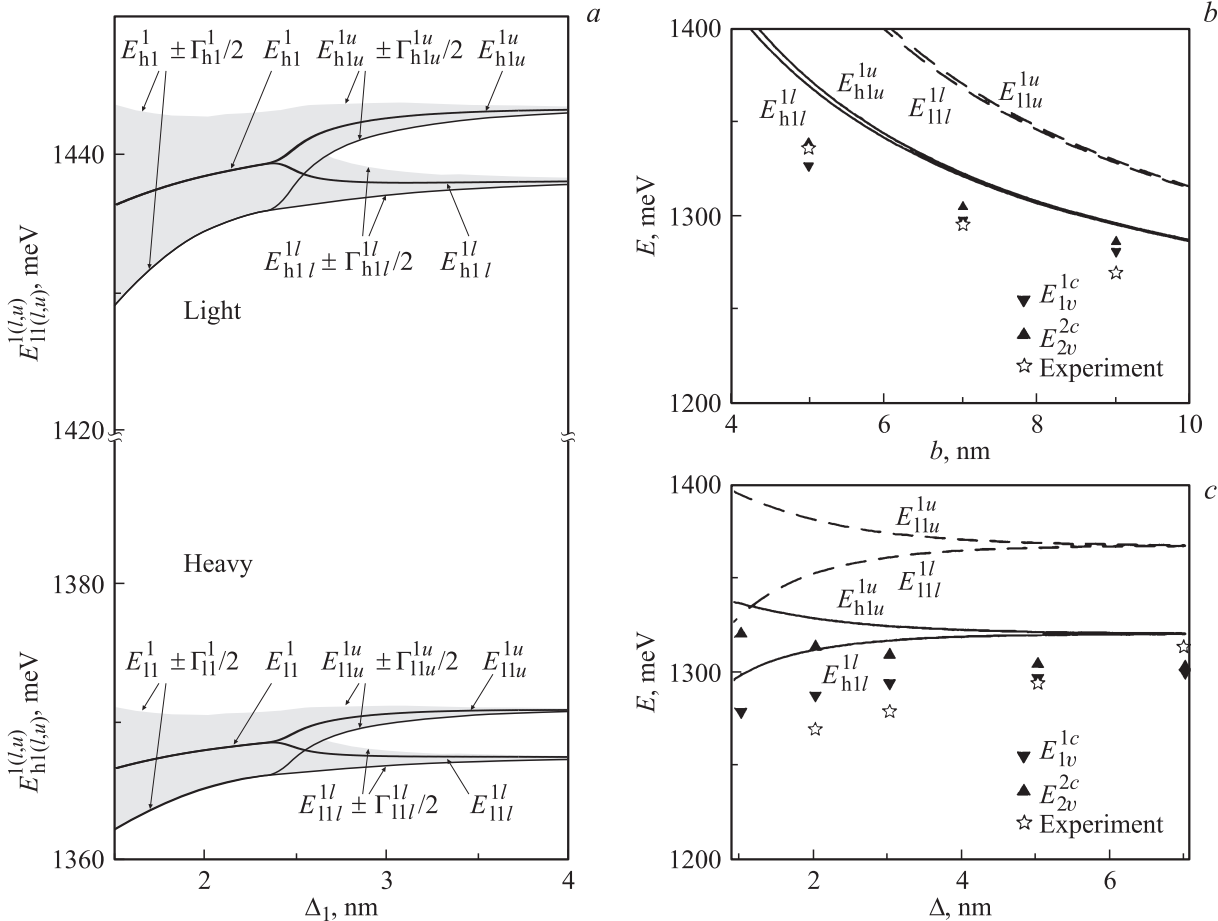


Рис. 4. Зависимости энергетических полос тяжелого и легкого экситонов от толщины внешнего барьера Δ_1 при $b = 5$ nm, $\Delta = 5$ nm (a), а также теоретические (E_{1v}^{1c} , E_{2v}^{2c}) и экспериментальные [18] зависимости резонансных энергий экситонов от ширины ямы при $\Delta_1 = \Delta = 5$ nm (b) и от толщины внутреннего барьера при $\Delta_1 = 20$ nm, $b = 7$ nm (c).

массы тяжелой дырки (в изучаемой системе) в 7 раз больше, чем легкой, энергетические полосы тяжелого экситона более узкие и расположены в шкале энергий приблизительно на 70 meV ниже, чем полосы легкого экситона.

Так как нам, к сожалению, неизвестны экспериментальные работы, в которых бы изучалась эволюция спектральных параметров экситонов в зависимости от геометрических размеров открытых наносистем, мы выполнили расчет этих параметров на примере открытой трехбарьерной системы с достаточно большими размерами внешних потенциальных барьеров, при которых эта система очень близка к закрытой, экспериментально исследованной в работе [18] наносистеме. Сравнение предложенной здесь теории эволюции спектральных параметров экситона с результатами работы [18] целесообразно и в том отношении, что в цитируемой работе также выполнен теоретический расчет спектральных параметров тяжелого экситона, но в модели постоянных по всему пространству закрытой системы эффективных масс электрона и дырки с подгоночными под эксперимент (как отмечали сами авторы [18]) потен-

циальными ямам электрона ($U^e = 170$ meV) и тяжелой дырки ($U^{hh} = 80$ meV). К сожалению, ни расчет, ни экспериментальные измерения спектра легкого экситона в цитируемой работе не приведены.

На рис. 4, b, c представлены рассчитанные зависимости наиболее низких ($n_e = n_h = 1$) резонансных энергий тяжелых (E_{hl}^{1l} , E_{hlu}^{1u}) и легких (E_{hl}^{1l} , E_{hlu}^{1u}) экситонов при фиксированных значениях размеров барьеров ($\Delta_1 = \Delta = 5$ nm) в зависимости от ширины ямы b (рис. 4, b) и при фиксированных значениях $\Delta_1 = 20$ nm, $b = 7$ nm от ширины внутреннего барьера Δ (рис. 4, c). Там же для сравнения приведены экспериментальные и теоретические (E_{1v}^{1c} , E_{2v}^{2c}) результаты, полученные в работе [18] для тяжелого экситона. При выбранных геометрических размерах открытой системы максимальные отклонения от соответствующих величин, рассчитанных в закрытой системе, не превышают 0.02 meV по энергии и 0.05 meV по ширине.

Из рис. 4, b, c видно, что теоретические и экспериментальные зависимости величин спектральных параметров тяжелых экситонов от геометрических размеров ям и барьеров наносистемы не только качественно, но и ко-

личественно довольно удовлетворительно (меньше 2%) согласуются. Несколько лучшее согласие теории и эксперимента, полученное для тяжелого экситона в работе [18], связано с тем, что в отличие от предложенной здесь модели без подгоночных параметров в цитируемой работе подгонялись теоретические значения величины энергий потенциальных ям электрона и тяжелой дырки. Однако необходимо заметить, что, как показывают прикидочные оценки низкоэнергетического сдвига экситонных энергий за счет электрон-дырочного (в модели Ванье–Мотта) и экситон-фононного (во фрелиховской модели диэлектрического континуума) взаимодействий, полный сдвиг энергии может достигать 15–20 meV, вследствие чего разница между экспериментальными и теоретическими значениями может уменьшаться до одного процента.

4. Заключение

Развитая в работе теория эволюции спектральных параметров квазичастиц (электронов, дырок, экситонов) в зависимости от геометрических размеров открытой симметричной трехбарьерной наносистемы (на основе модели прямоугольных потенциальных ям и барьеров, а также разных эффективных масс квазичастиц в различных ее слоях без каких-либо подгоночных параметров) удовлетворительно согласуется с экспериментом.

Можно полагать, что при последовательном учете в теории взаимодействия квазичастиц между собой, с фононами и с электромагнитным полем эта же модель будет достаточно адекватно описывать проводимость открытых резонансно-туннельных наносистем, которые являются базовыми элементами как наносенсоров (в случае положительной проводимости), так и квантовых каскадных лазеров (в случае отрицательной проводимости).

Теорию электрон-фононного взаимодействия и экситонных состояний с учетом электрон-дырочного взаимодействия в открытых наносистемах, предполагается разработать в следующих работах.

Список литературы

- [1] C. Gmachl, F. Capasso, E.E. Narimanov, J.U. Nöckel, A.D. Stone, J. Faist, D.L. Sivco, A.Y. Cho. *Science* **280**, 1556 (1998).
- [2] S. Blaser, M. Rochat, M. Beck, J. Faist. *Phys. Rev. B* **61**, 8369 (2000).
- [3] C. Gmachl, F. Capasso, D.L. Sivco, A.Y. Cho. *Rep. Prog. Phys.* **64**, 1533 (2001).
- [4] A. Orihashi, B. Suzuki, C. Asada. *Appl. Phys. Lett.* **87**, 233 501 (2005).
- [5] S. Haas, T. Stroucken, M. Hübner, J. Kuhe, B. Grote, A. Knorr, F. Jahnke, S.W. Koch, R. Hey, K. Ploog. *Phys. Rev. B* **57**, 14 860 (1998).
- [6] А.А. Горбачевич, М.Н. Журавлев, В.В. Капасв. *ЖЭТФ* **134**, 338 (2008).
- [7] В.Ф. Елесин. *ЖЭТФ* **127**, 131 (2005).
- [8] В.Ф. Елесин, И.Ю. Катеев. *ФТП* **42**, 586 (2008).
- [9] В.Ф. Елесин, И.Ю. Катеев, М.А. Ремнев. *ФТП* **43**, 269 (2009).
- [10] А.Б. Пашковский. *Письма в ЖЭТФ* **82**, 228 (2005).
- [11] Э.А. Гельвич, Е.И. Голант, А.Б. Пашковский. *Письма в ЖТФ* **32**, 5, 13 (2006).
- [12] А.Б. Пашковский. *Письма в ЖЭТФ* **89**, 32 (2009).
- [13] Н.В. Ткач, Ю.А. Сети. *ФТТ* **51**, 979 (2009).
- [14] M. Tkach, Ju. Seti, O. Voitsekivska, R. Fartushynsky. *AIP Conf. Proc.* **1198**, 174 (2009).
- [15] Н.В. Ткач, Ю.А. Сети. *ФТП* **40**, 1111 (2006).
- [16] M. Tkach, Ju. Seti. *Cond. Matter. Phys.* **10**, 23 (2007).
- [17] Н.В. Ткач, Б.А. Сети. *ФНТ* **35**, 710 (2009).
- [18] Л.К. Орлов, Н.Л. Ивина, Ю.А. Романов, Р.А. Рубцова. *ФТТ* **42**, 537 (2000).
- [19] G.H. Davies. *The physics of low-dimensional semiconductor*. Cambridge University Press, Cambridge (1998).
- [20] Л.Д. Ландау, Е.М. Лифшиц. *Квантовая механика. Нерелятивистская теория*. Физматлит, М. (2002).
- [21] А.И. Базь, Я.Б. Зельдович, А.М. Переломов. *Рассеяния, реакции и распады в нерелятивистской квантовой механике*. Наука, М. (1971).